

сообщения
объединенного
института
ядерных
исследований
дубна

P13-85-413

М. В. Ляблин, Г. В. Цепилов

ГЕТЕРОДИННЫЙ ДЕТЕКТОР ИК-ДИАПАЗОНА
В СХЕМЕ ПРИЕМНИКА ГРАВИТАЦИОННОЙ ВОЛНЫ

1985

ЧУВСТВИТЕЛЬНОСТЬ ДЕТЕКТОРА

Для приема гравитационной волны используется метод параметрического смешивания волн на атомах щелочных металлов^{1,2}. В результате когерентного параметрического взаимодействия гравитационной волны с электромагнитными волнами накачки ожидается поток фотонов сигнала со следующими параметрами: мощность излучения $P_c = 2 \cdot 10^{-12}$ Вт; длительность импульса $\tau = 10^{-6}$ с, длина волны $\lambda = 10$ мкм; ширина полосы частот излучения $\Delta f = 10^8$ Гц; угловая расходимость пучка сигнального излучения $\Delta\Omega = 10^{-4}$ рад.

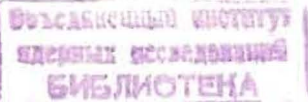
Регистрация столь слабого сигнала решается с применением гетеродинного способа регистрации света в инфракрасном /ИК/ диапазоне. Суть этого метода заключается в следующем. Два оптических поля - сигнальное $E_c \cos \omega_c t$ и гетеродинное $E_f \cos \omega_f t$ совмещаются в пространстве таким образом, чтобы направления волновых векторов K_c и K_f совпадали. Затем общее поле \vec{E} подается на чувствительную площадку фотодетектора. Поскольку любой фотодатчик регистрирует мощность излучения, то мощность, принимаемая фотодетектором будет

$$P = P_c \cos^2 \omega_c t + P_f \cos^2 \omega_f t = \\ = \frac{1}{2} 2 \sqrt{P_c P_f} [\cos(\omega_c - \omega_f)t + \cos(\omega_c + \omega_f)t]. \quad /1/$$

На выходе фотодетектора образуется ток $i = \frac{\eta e}{hv} P = AP$, где η - квантовая эффективность фотодетектора; e - заряд электрона; h - постоянная Планка; v - частота излучения. Колебания с частотами ω_c , ω_f , $\omega_c + \omega_f$ усредняются в постоянный ток $i_p = i_c + i_f$, а составляющая с частотой $\Delta\omega = \omega_c - \omega_f$ попадает в диапазон регистрируемых частот модуляции. Эта разностная компонента образует переменный ток, который является сигнальным в электронном тракте фотоприемника. Общий ток имеет вид

$$i = i_c + i_f + 2 \sqrt{P_c P_f} \cdot A \cdot \cos \Delta\omega t. \quad /2/$$

Оценим теперь уровень шумов, возникающих в фоторезисторе Ge : Cu (Sb) /табл. /, используемом в схеме гетеродинного приемника.



Таблица

Тип фотодетектора	Диапазон длин волн	Максимум приемника	Квантовая эффективность	Постоянно-время приемника	Логарифмическое сопротивление	Пороговая мощность	Площадь фоточипа
фоторезистор Ge : V_d	2-14	10,6	0,5	4,2	$3 \cdot 10^{-9}$	10^8	$5 \cdot 10^5$
фоторезистор Ge : $\text{Hg}(\text{Sb})$	8-14	II	0,5	4,2	$3 \cdot 10^{-10}$	$1,1 \cdot 10^9$	$5 \cdot 10^5$
фоторезистор Ge : Cu	3-30	22	0,5	4,2	$2 \cdot 10^{-9}$	$1,6 \cdot 10^8$	$10^3 \cdot 10^5$
фоторезистор Ge : Cu(Sb)	2-27	23	0,56	4,2	$2 \cdot 10^{-10}$	$1,2 \cdot 10^9$	$1,2 \cdot 10^3$
фотодиод $\text{V}_{\text{A},\text{d}}$	8-14	II	0,3	77	$10^{-9} \cdot 10^{-10}$	$10^8 \cdot 10^9$	$3 \cdot 10^3$
фотодиод $\text{P}_{\text{d}}, \text{S}_{\text{m}}, \text{T}_{\text{e}}$	I-12,8	II,4	???	???	300	$0,5 \cdot 10^{-10}$	10^{-4}
						$2 \cdot 10^{-3}$	

Дробовой шум, возникающий из-за дискретности носителей тока. Его величина $\langle i_{\text{др}}^2 \rangle$ в полосе частот приема Δf дается формулой Шоттки:

$$\langle i_{\text{др}}^2 \rangle = 2eA \cdot P_g \Delta f.$$

Для мощности гетеродина $P_g = 10^{-5}$ Вт; $\langle i_{\text{др}}^2 \rangle = 1,7 \cdot 10^{-15} \text{ а}^2$.

/3/

Генерационно-рекомбинационный шум, связанный с флюктуациями скоростей генерации и рекомбинации носителей тока в веществе полупроводникового фотодетектора:

$$\langle i_{\text{г-р}}^2 \rangle = \langle i_{\text{др}}^2 \rangle \cdot \frac{2 \cdot \tau_0}{1 + f \cdot \tau_0^2 \cdot 4\pi^2},$$

/4/

где τ_0 - время жизни и τ_d - время дрейфа носителей тока на длине d ; f - частота модуляции тока.

Для выбранного фотодетектора эти параметры равны $\tau_0 = 10^{-9}$ с, $\tau_d = 3 \cdot 10^{-8}$ с, $f = 10^9$ Гц. Следовательно, $\langle i_{\text{г-р}}^2 \rangle = 1,6 \cdot 10^{-3} \langle i_{\text{др}}^2 \rangle$.

Фотонный шум, обусловленный существованием излучения от нагретых элементов конструкции, окружающих фотодетектор:

$$\langle i_{\Phi}^2 \rangle = 2eP_{\Phi}\Delta f; \quad P_{\Phi} = P_{\Phi \text{ пор}}^* \sqrt{S\Delta f} \Delta\Omega;$$

$$P_{\Phi \text{ пор}}^* = \frac{2\sqrt{\pi h k T}}{c \sqrt{n}} V_0^2 \exp\left[-\frac{hv}{2kT}\right] \cdot \left[1 + 2 \frac{kT}{hv} + 2 \left(\frac{kT}{hv}\right)^2\right].$$

$$S_{\Phi \text{ пор}} = 10^{-4} \text{ см}^2; \quad \Delta f = 10^8; \quad \Delta\Omega = 10^{-4} \text{ радиан};$$

/5/

$$T = 300^\circ \text{ К}; \quad \langle i_{\Phi}^2 \rangle = 3 \cdot 10^{-9} \langle i_{\text{др}}^2 \rangle.$$

Тепловой шум, связанный с температурой вещества фотодетектора, $\langle i_T^2 \rangle$, имеет величину

$$\langle i_T^2 \rangle = 4kT \frac{1}{R} \Delta f = 1,3 \cdot 10^{-3} \langle i_{\text{др}}^2 \rangle,$$

/6/

где R - темновое сопротивление фотодетектора, T - температура вещества фотодетектора, k - постоянная Больцмана.

Из проведенного рассмотрения видно, что доминирующим шумом является дробовой. Вычислим теперь отношение сигнала к шуму S/N :

$$S/N = \frac{\langle i_c^2 \rangle}{\langle i_{\text{др}}^2 \rangle} = \eta \frac{P_c}{hv\Delta f},$$

/7/

Используя параметры принимаемого сигнала, определим отношение S/N: $S/N = 3$. Из условия $S/N = 1$ определим пороговую мощность,

$$P_{c \text{ пор}} = \frac{1}{\eta} h v \Delta f. \quad /8/$$

ПАРАМЕТРЫ ЭЛЕМЕНТОВ СХЕМЫ ДЕТЕКТОРА

Рассмотрим вопросы технической реализации гетеродинного оптического приемника. Начнем с выработки условий согласования оптических элементов устройства с фотодетектором. Эти условия выведем из коэффициента преобразования гетеродинного приемника /4/:

$$K = \frac{P_{\text{вых}}}{P_{\text{вх}}} = \frac{P_c}{P_{\text{вх}}} \cdot \frac{P_{\text{вых}}}{P_c} = \lambda L, \quad /9/$$

где $P_{\text{вых}}$ - мощность токового сигнала на выходе фотодетектора; P_c - мощность оптического сигнала, подаваемая на фотодетектор; $P_{\text{вх}}$ - мощность сигнала, перехватываемая апертурой гетеродинного приемника; λ - коэффициент преобразования оптической схемы; L - коэффициент преобразования фотодетектора:

$$L = 2 \cdot A^2 P_r \cdot R \cdot k. \quad /10/$$

где k - коэффициент, учитывающий степень несовпадения амплитудно-фазовых распределений оптических лучей сигнала и гетеродина на фотодетекторе. Коэффициент k изменяется от 1 - полное согласование до 0 - отсутствие согласования. Можно привести три наиболее характерных случая смешивания этих волн.

а. В интерферирующих плоских волновых полях существует линейная фазовая ошибка, набегающая из-за неколлинеарности распространения сигнала и гетеродинного излучения:

$$k = \frac{2 J_1 \left(\frac{\pi D_{\text{пр}} \cdot \sin \gamma}{\lambda} \right)}{\pi \cdot D_{\text{пр}} \cdot \sin \gamma}, \quad /11/$$

где $D_{\text{пр}}$ - диаметр фотодатчика, γ - угол рассогласования, J_1 - функция Бесселя первого порядка. $k = 1$ при

$$\frac{\pi D_{\text{пр}} \cdot \sin \gamma}{\lambda} \leq 0.1; \quad /12/$$

б. При коллинеарности смешивания лучей, но в случае гауссского распределения интенсивности на фотодатчике,

$$P_{c,r} = P_{0,c,r} \cdot \exp \left(-\pi \frac{v^2}{d_{c,r}^2} \right). \quad /13/$$

где d_c, d_r - эффективные диаметры световых пятен сигнала и гетеродинного излучения в фокусе линзы:

$$\kappa = \frac{4 \theta^2}{(1 + \theta^2)^2} \cdot \frac{\left[1 - \exp \left(-\frac{\pi}{8} \cdot \xi^2 \frac{1 + \theta^2}{\theta^2} \right) \right]^2}{\left[1 - \exp \left(-\frac{\pi}{4} \xi^2 \right) \right] \left[1 - \exp \left(-\frac{\pi}{4} \frac{\xi^2}{\theta^2} \right) \right]}, \quad /14/$$

где $\theta = \frac{d_c}{d_r}; \xi = \frac{D_{\text{пр}}}{d_c}$. При $\theta = 1, \xi > 1, \kappa \approx 1$.

в. При одновременном существовании неколлинеарности лучей и гауссовском распределении интенсивности имеем

$$\kappa = \frac{4 \theta^2}{1 + \theta^2} \cdot \exp \left[-4 \pi \left(\frac{d_c \sin \gamma}{\lambda} \right) \frac{\theta}{1 + \theta^2} \right], \quad /15/$$

где принято условие $D_{\text{пр}} \gg d_c, d_r$.

При ограничениях $d_c \sin \gamma / \lambda \ll 1, \theta = 1$ имеем $\kappa = 1$.

$$d_c \cdot \sin \gamma / \lambda \leq 0.05. \quad /16/$$

Из этого рассмотрения видно, что фокусирующие системы для сигнального и гетеродинного излучений должны быть идентичны; диаметр фотоприемника должен быть больше, чем эффективные диаметры сигнального и гетеродинного излучений.

Определим допустимые смещения оптических элементов в схеме приемника.

Возможное угловое рассогласование следует из /16/:

$$\gamma = \arcsin \left(\frac{1}{20} \frac{\lambda}{d_c} \right). \quad /17/$$

Используя значение диаметра пятна Эри $d = 2 \frac{F \lambda}{D}$, из /17/ можно получить значение возможного линейного перемещения оптических элементов друг относительно друга:

$$\Delta x = \frac{1}{40} \frac{D}{F}, \quad /18/$$

где D - диаметр входного окна; F - фокусное расстояние линзы.

Рассмотрим зависимость чувствительности гетеродинного приемника от поляризации и когерентности сигнального и гетеродинного излучений /5/. В общем случае отношение сигнала к шуму S/N имеет вид

$$S/N = \eta \frac{P_c}{h v \Delta f} \cdot V \cdot B. \quad /19/$$

где V - коэффициент, учитывающий степень поляризации сигнального и гетеродинного излучений; B - коэффициент, учитывающий когерентность оптических полей сигнала и гетеродина.

Коэффициент V имеет вид

$$V = \frac{1 + K_1 K_2 \cos 2\psi}{(1 + K_1)(1 + K_2)}.$$

/20/

где K_1, K_2 - степени поляризации сигнала и гетеродина.

Величина ψ есть угол между векторами поляризации сигнала и гетеродинного излучения. Пределы изменения V лежат между 0-1.

Коэффициент, учитывающий когерентность оптических полей сигнала и гетеродина, имеет вид

$$B = \frac{4 A_{\text{om}}^2}{D_{\text{pr}}^2} \sum_{n=0}^{\infty} \left[1 - \exp \left(-\frac{D_{\text{pr}}}{2 A_{\text{om}}} \right) \cdot \sum_{p=0}^n \frac{1}{p!} \left(\frac{D_{\text{pr}}}{2 A_{\text{om}}} \right)^p \right]^2,$$

/21/

где

$$A_{\text{om}} = \frac{2 A_{01} \cdot A_{02}}{A_{01} + A_{02}};$$

A_{01}, A_{02} - площади когерентности сигнального и гетеродинного излучений.

Площадь когерентности определяется как степень сферированности колебаний в плоскости падения волны. Она определяется через корреляционную функцию сигнала

$$R(r) = P \cdot \exp \left[-\left(\frac{r^2}{4 \delta r_1^2} \right) \right].$$

/22/

Из условия

$$\frac{R(r)}{R(0)} > e^{-1}$$

/23/

определяют δr_1 и, соответственно, площадь когерентности $A = \pi \delta r_1^2$.

При условии $A_{\text{om}} \gg D_{\text{pr}}$,

$$B \approx 1.$$

/24/

Из приведенного рассмотрения видно, что сигнальная волна и гетеродинные волны должны быть полностью поляризованы; площади когерентности сигнала и гетеродина должны быть значительно больше площади фотодатчика.

Рассмотрим ограничения на допустимую модуляцию мощности лазера и вычислим его оптимальную мощность.

Ограничение на мощность гетеродина имеет вид

$$P_g^* = \frac{P_{\text{пор}}^*}{0.1 \alpha h v \Delta f},$$

/25/

где α принимает значения 1 - для фотодиодов и 2 - для фоторезисторов. Ограничение для модуляционных шумов гетеродина можно вычислить из условия^{/5/}:

$$\langle i_m^2 \rangle \ll \langle i_c^2 \rangle$$

$$\text{или } P_m \ll 2 \sqrt{P_c P_g}.$$

Используя формулу /26/, можно получить

$$P_m^* \ll \frac{P_{\text{пор}}^*}{\sqrt{0.12 \eta}}.$$

/26/

Для расчета примем $P_m = 10^{-2} P_{\text{пор}}^*$. Тем самым для выбранного фотоприемника $P_g = 10^{-5}$ Вт, $P_m = 10^{-11}$ Вт.

Как видно из вышеприведенных данных, требования на модуляционную мощность гетеродина весьма жесткие. Удовлетворить им можно, используя балансную схему гетеродинного приемника /приложение 1, рис.1/.

ОБЩАЯ СХЕМА ГЕТЕРОДИННОГО ПРИЕМНИКА

Эта схема изображена на рис.2. Сигнальное излучение подается на дифракционную решетку типа решетки эшелонов под определенным углом /приложение 2/, что позволяет развести отраженный поток на два направления. Эти потоки подаются на плоскопараллельные прозрачные пластины Π_1 и Π_2 , где совмещаются с гетеродинным лазерным излучением и попадают на фотодетекторы ΦD_1 и ΦD_2 . Сдвиг фазы сигнальной волны относительно гетеродинной волны осуществляется использованием пластинок различной толщины Π_1 и Π_2 при условии, что они изготовлены из одного и того же материала либо из материалов с различными показателями преломления. В дальнейшем регистрация и детектирование осуществляются по гетеродинной схеме приема.

Предложенный здесь приемник обладает большой избирательностью и высокой чувствительностью.

В заключение хотим выразить благодарность А.Ф.Писареву, Ю.А.Плису и А.А.Сазонову за помощь в работе и полезные обсуждения.

ПРИЛОЖЕНИЕ 1

Рассмотрим принцип работы балансной схемы гетеродинного оптического приемника /рис.1/. Сигнальное и гетеродинное излучения

подаются на плоскопараллельную пластинку П. В результате отражения и преломления образуются 2 потока, которые подаются на фотодатчики ФД1 и ФД2. Толщина П подбирается такой, чтобы существовал фазовый сдвиг между сигнальным и гетеродинным излучениями, равный $\pi/4$. Токи от ФД1 и ФД2 имеют вид

$$i_1 \sim A [E_c \cos(\omega_c t - \frac{\pi}{4}) + E_r \cos \omega_r t]^2, \quad /a/$$

$$i_2 \sim A [E_r \cos(\omega_r t - \frac{\pi}{4}) + E_c \cos \omega_c t]. \quad /a/$$

Найдем $I_1 = i_1 + i_2$ и $I_2 = i_1 - i_2$:

$$I_1 = 2A^2 (E_c^2 + E_r^2) + 4A^2 E_c E_r \cos \Delta\omega t, \quad /b/$$

$$I_2 = 4A^2 E_c E_r \sin \Delta\omega t.$$

Видно, что I_2 не содержит членов, пропорциональных мощности гетеродина, следовательно, исключается влияние модуляционных шумов гетеродинного лазера. Отношение S/N остается таким же, как и у гетеродинного приемника одноплечевого типа.

ПРИЛОЖЕНИЕ 2

Определим угол падения луча на дифракционную решетку эшелетт, при котором отраженный луч распространялся бы в 2 симметричных направления /рис.3/.

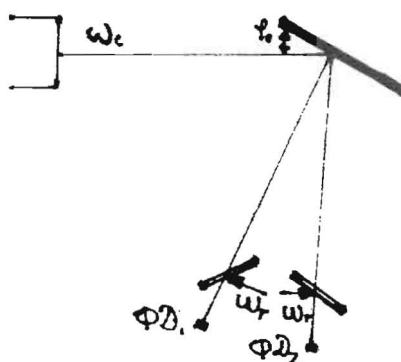


Рис.2

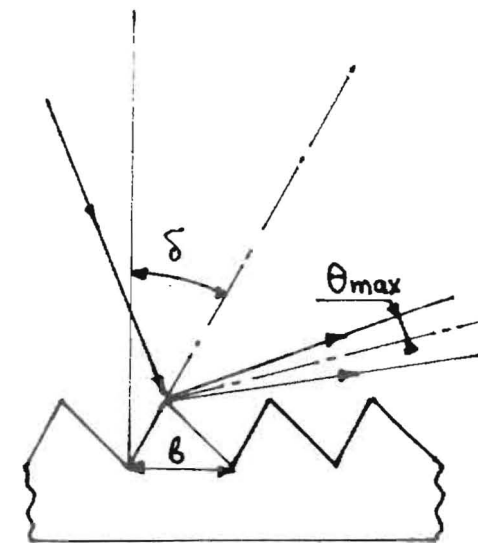
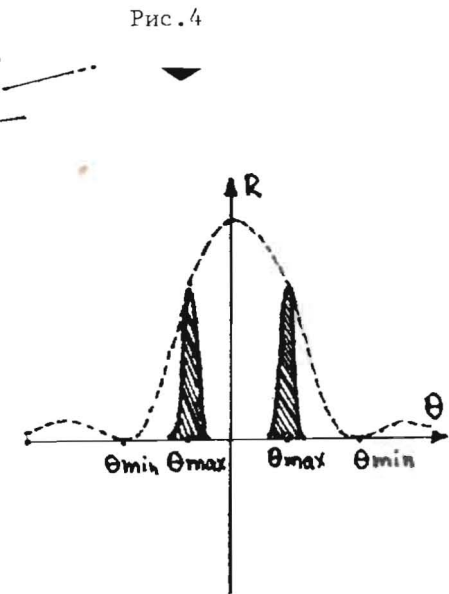


Рис.3



Распределение интенсивности отраженного света от решетки эшелетт описывается выражением /7/

$$I = I_0 \cos(\delta + \phi) \cdot \frac{\sin^2 [\pi b/\lambda \cos(\delta + \phi) \cdot \sin \theta]}{\pi^2 [b/\lambda \cos(\delta + \phi) \sin \theta]^2} \cdot \frac{\sin^2 \{N\pi b/\lambda [\sin(\delta - \phi) + \sin(\delta + \phi + \theta)]\}}{\sin^2 \{N\pi b/\lambda [\sin(\delta - \phi) + \sin(\delta + \phi + \theta)]\}}, \quad /a/$$

где N - количество штрихов, λ - длина волны излучения, ϕ , θ , b - углы и параметры решетки /даны на рис.3/. Определим из /a/ углы максимумов и минимумов в отраженном свете. На рис.1 дано их расположение, где θ_{min} от первого сомножителя формулы /a/, а θ_{max} от второго. Они записываются в виде

$$\theta_{min} = \arcsin \left(\frac{b}{\lambda} \frac{1}{\cos(\delta + \phi)} \right); \quad \theta_{max} = 2\delta. \quad /b/$$

Условие, при котором отраженное излучение распространяется в два равных по интенсивности максимума, имеет вид

$$\frac{\lambda}{b} = \sin 4\delta . \quad /b/$$

Определим коэффициент потерь сигнала на отражение. В нашем случае он находится из формулы

$$r = 1 - 2R , \quad /r/$$

где R - коэффициент отражения в один из максимумов. Он выводится подстановкой в /a/ выражения для θ_{\max} из /b/:

$$R = \frac{\sin \left[\frac{\pi}{2} \cdot \frac{\cos(\delta + \phi)}{\cos 2\delta} \right]}{\cos^2(\delta + \phi) / \cos 2\delta} \cdot \frac{4}{\pi^2} .$$

Например, при $\delta = 1^\circ$, $\phi = 43^\circ$, $R = 0,46$ из /r/ получим $r = 0,08$.

ПРИЛОЖЕНИЕ 3

Определим параметры смешивания двух оптических полей на плоскопараллельной пластинке /рис.5/.

Для уменьшения потерь сигнала на отражение его подают на пластинку П под углом Брюстера, который находят из выражения

$$\phi_{Br} = \arctg \frac{n_2}{n_1} . \quad /a/$$

где n_2 , n_1 - коэффициенты преломления для вещества пластинки и воздуха.

Полное прохождение сигнальной волны через пластинку возможно, если направление вектора напряженности E_c перпендикулярно плоскости падения. При осуществлении смещения сигнального и гетеродинных оптических полей под углом $\pi - 2\phi_{Br}$ /рис.5/ на фотодетектор попадут излучения с перпендикулярными поляризациями. Как видно из /20/, гетеродинный эффект исчезает. Для преодоления этой трудности предлагается смешивать волновые поля под несколько отличным от $\pi - 2\phi_{Br}$ углом. При смешивании под углом $\pi - 2\phi_{Br} + \alpha$, где α - малый угол, коэффициент прохождения сигнальной волны T равен

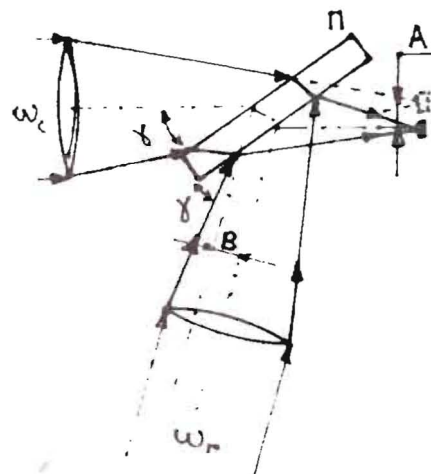


Рис.5

чесает. Для преодоления этой трудности предлагается смешивать волновые поля под несколько отличным от $\pi - 2\phi_{Br}$ углом. При смешивании под углом $\pi - 2\phi_{Br} + \alpha$, где α - малый угол, коэффициент прохождения сигнальной волны T равен

$$T = \frac{n_2}{n_1} \operatorname{ctg}(\phi_{Br} + \alpha) = \frac{1 - \alpha \frac{n_2}{n_1}}{1 + \alpha \frac{n_1}{n_2}} .$$

При $\alpha = 3^\circ$, $n_2 = 1,5$, $n_1 = 1$, $T = 0,89$. Коэффициент отражения для гетеродинного излучения равен $R = 1 - T = 0,11$.

Параметры геометрического смещения A и B /см. рис.4/:

$$A = D_{pl} \cdot \frac{\cos 2\phi'_{Br}}{\sin \phi'_{Br}}, \quad B = D_{pl} / \sin \phi'_{Br}, \quad /b/$$

где D_{pl} - толщина пластины; $\phi'_{Br} = \phi_{Br} - \alpha$, $\gamma = \frac{\pi}{2} - \phi_{Br} + \alpha$.

ЛИТЕРАТУРА

1. Вакару С. Многофотон-гравитационные процессы и параметрическое усиление в газообразных средах. Труды рабочего совещания по проблемам излучения и детектирования гравитационных волн. ОИЯИ, Дубна, 1983, с.60.
2. Вакару С., Писарев А.Ф. Параметрическое усиление на основе многоволновых процессов при многофотон-гравитационном резонансе. Труды рабочего совещания по проблемам излучения и детектирования гравитационных волн. ОИЯИ, Дубна, 1983, с.75.
3. Мирошников М.М. Теоретические основы оптико-электронных приборов. "Машиностроение", Л., 1983, с.453.
4. Радиотехника и электроника, 1972, т.17, № 1, с.103.
5. Journ. of Electronics and Control First Series, 1964, vol.16, No.6, p.687.
6. Радиотехника и электроника, 1971, т.16, № 3, с.373.
7. Королев Ф.А. Теоретическая оптика. "Высшая школа", М., 1966, с.464.